

บทที่ 2

เอกสารและงานวิจัยที่เกี่ยวข้อง

คุณสมบัติของปอร์ท

ปอร์ท (Mercury) ได้มีการนำมาใช้ประโยชน์มากกว่า 3,500 ปี ภารยาตาตินเรียกว่า “Hydragyrus” ปอร์ทเป็นโลหะหนักที่มีสีขาวคล้ำเงิน สามารถรวมกับโลหะทั่วไปได้เกือบทุกชนิด ในสภาพอุณหภูมิปกติ ปอร์ทบริสุทธิ์จะมีสถานะเป็นของเหลว มีสีขาวคล้ำเงินจึงเรียกว่า “Liquid Silver” หรือ “Quick Silver” เป็นโลหะชนิดเดียวที่เป็นของเหลวที่อุณหภูมิปกติ สถานะที่เป็นของแข็งจะมีความเย็น และสามารถระเหยเป็นไอได้ นักจากานีชาตุปอร์ท (Elemental Mercury) ขึ้นเมื่อคุณสมบัติอื่น ๆ ดังนี้ ข้างล่างใน กรมควบคุมมลพิษ (2541)

1. เลขอะตอม (Atomic Number)	200.59 Atomic Mass Unit
2. ความหนาแน่น (Density) ที่ 20°C	13.546 g/cm ³ at 20°C
3. จุดเดือด (Boiling Point)	356.9 °C
4. จุดเยือกแข็ง (Melting Point)	-38.87 °C
5. ความถ่วงจำเพาะ (Specific Gravity)	13.545
6. ความสามารถในการละลายน้ำ (Solubility in Water)	ต่ำ
7. ความร้อนแ放ของสารหลอมเหลว	2.82 แคาลลารีต่อกรัม
8. ความร้อนแ放ของการกลาญเป็นไอ	65 แคาลลารีต่อกรัม

สาเหตุการปนเปื้อนของปอร์ทในสิ่งแวดล้อม

สาเหตุที่โลหะปอร์ทกระจายออกสู่สิ่งแวดล้อมมี 2 ลักษณะคือ

1. การปลดปล่อยโลหะปอร์ทจากแหล่งธรรมชาติ (Natural Sources)

ในธรรมชาติมีการปลดปล่อยปอร์ทออกสู่สิ่งแวดล้อมอยู่ตลอดเวลา โดยปกติจะพบปอร์ทอยู่ในรูปของ Elemental Mercury (Hg^0), Mercurous Ion (Hg^{+}) และ Mercuric Ion (Hg^{2+}) ซึ่งถูกปลดปล่อยมาจากการหลอมเหลว หรือการเผาไหม้ หรือการเผาไหม้ในชั้นหิน ดิน แร่ ที่มีโลหะปอร์ทเป็นส่วนประกอบ โดยสาเหตุจากธรรมชาติไม่ว่าจะเป็น การชะล้างโลหะปอร์ทจากกระแสน้ำ กระแสลม หรือการผุกร่อนของแม่น้ำ ทำให้มีการกระจายตัวของโลหะปอร์ทออกสู่สิ่งแวดล้อม โดยมีการประมาณการว่ามีปอร์ทออกสู่สิ่งแวดล้อมตามธรรมชาติประมาณปีละ 2,700 - 6,000 ตัน/ปี (Albert, 1990)

2. การปลดปล่อยโลหะป्रอทจากกิจกรรมของมนุษย์ (Anthropogenic Sources)

ปัจจุบันมีการเพิ่มปริมาณ โลหะป্রอทในสิ่งแวดล้อมสูงขึ้นอย่างมาก สาเหตุหลักมาจากการพัฒนาอุตสาหกรรมต่างๆ ที่ต้องนำ โลหะป্রอทมาใช้เป็นส่วนประกอบในอุตสาหกรรมนั้น ๆ โดยในแต่ละปี จะมีการปลดปล่อย โลหะป্রอทออกสู่สิ่งแวดล้อมจากอุตสาหกรรม และสาเหตุ ต่าง ๆ ดังนี้ (Peakall & Lovett, 1972)

อุตสาหกรรมผลิตไฟฟ้า (Electrical Industry) ป্রอทจะถูกใช้ในการผลิตหลอดไฟ ฟลูออเรสเซนต์ แบตเตอรี่ สวิตไฟฟ้า ใช้เป็นแอลูมิโนดในเซลล์หั่งแบบอัลคาไลน์หลอดไฟฟ้า ตะเกียง ชนิด Nunglamp เพื่อผลิตรังสีอัลตราไวโอเล็ต และเป็นอิเล็กตรอนที่ใช้ในกระบวนการแยกสารด้วยไฟฟ้า (Electrolysis) เพื่อผลิตคลอรีนและ Sodium Hydroxide จาก Sodium Chloride

การเผาไหมข่องถ่านหิน (Combustion of Coal) ป্রอทจะมีอยู่ในถ่านหินตามธรรมชาติ ประมาณ 0.05 - 0.5 mg/kg เมื่อถ่านหินมีการเผาไหมป์ป์รอทจะออกมากับไอระเหยของถ่านหิน เกิดการปนเปื้อนในสิ่งแวดล้อม

อุตสาหกรรมเยื่อกระดาษ และผลิตภัณฑ์กระดาษ (Paper and Pulp Industry) มีการใช้ สารป্রอทเป็นขั้นบวก (Cathode) ในกระบวนการ Electrolysis ของสารตะลាយโดยเดิมคลอไรด์ เพื่อผลิตโซดาไฟ และคลอรีน อิกทั้งสารป্রอทมีส่วนสำคัญอย่างยิ่งในการผลิต Phenyl Mercury Acetate ได้นำมาใช้ป้องกันในการเติบโตของเชื้อรา และ Bacteria บนเนื้อเยื่อไม้

ทันตกรรม (Dentistry) ป্রอทใช้แพร่หลายในทางวิชาชีพทันตกรรม โดยใช้ผสมกับดีบุก เกิดโลหะมัลกัมใช้ในการอุดฟัน

การเผาไหมข่องน้ำมันและก๊าซธรรมชาติ (Combustion of Oil and Natural Gas) ป্রอท เป็นส่วนประกอบอยู่ในน้ำมันและก๊าซธรรมชาติ เมื่อมีการเผาไหมข่องน้ำมัน และก๊าซธรรมชาติ ป্রอทจะปลดปล่อยออกมาน้ำสู่สิ่งแวดล้อม

อุตสาหกรรมซีเมนต์ (Cement Production) กระบวนการผลิตซีเมนต์เป็นส่วนสำคัญใน การปลดปล่อยป์รอทออกสู่สิ่งแวดล้อมเพราะจะต้องใช้ความร้อนสูง (1500 องศาเซลเซียส) ทำให้ ปริมาณป์รอทที่ผสมอยู่ในวัตถุดิบ ถูกปล่อยออกมาน้ำสู่ชั้นบรรยากาศได้

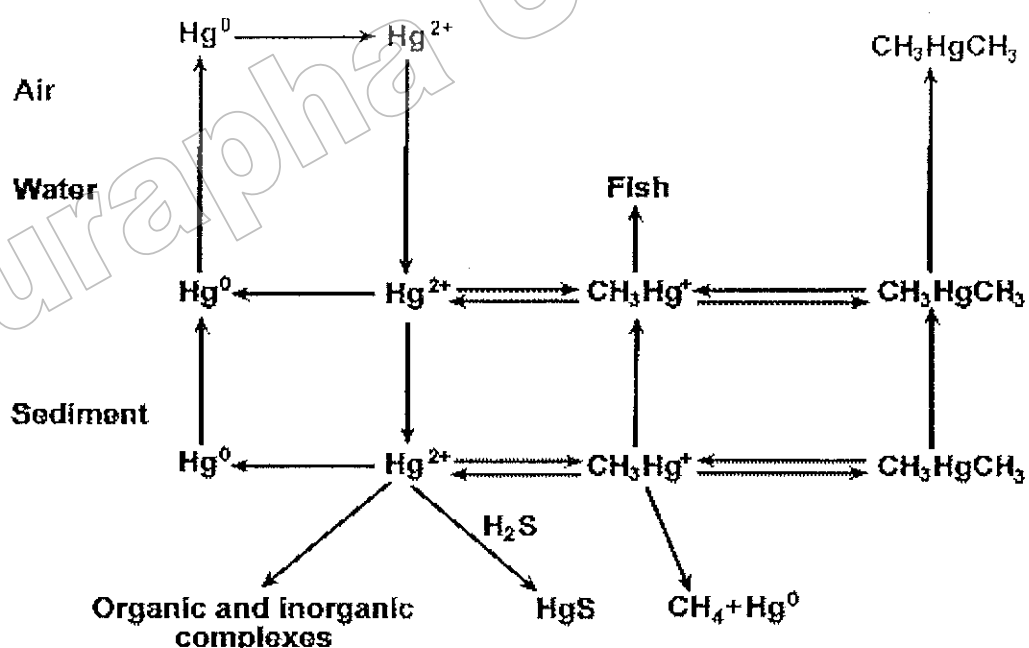
ใช้เป็นตัวเร่งปฏิกิริยา (Catalyst) ในการผลิต PVC (Polyvinyl Chloride) และใช้เป็นสาร ตัวต้านในสารประกอบอินทรีย์ที่ใช้เป็นยาขับปัสสาวะ (Diuretics)

รูปแบบของprotoที่ตั้งแวดล้อม

รูปแบบของprotoที่ตั้งแวดล้อม 5 รูปคือ (เป็นศักดิ์ เมนะเสวต, 2539)

1. Divalent Mercury (Hg^{2+})
2. Metallic Mercury (Hg^0)
3. Phenylmercury ($C_6H_5Hg^+$)
4. Methymercury (CH_3Hg^+)
5. Alkoxyalkylmercury ($CH_3O-CH_2-CH_2-Hg$)

ในธรรมชาติสารprotoจะอยู่ในรูปแบบที่ต่างกัน ดังแสดงในภาพที่ 1 ซึ่งอธิบายกระบวนการเปลี่ยนแปลง โครงสร้างทางเคมี (Speciation) ของproto โดยเมื่อprotoอยู่ในรูปของ Metallic Mercury (Hg^0) เปลี่ยนรูปแบบเป็น Divalent Mercury (Hg^{2+}) ผ่านกระบวนการ Methylation เปลี่ยนโครงสร้างจาก protoอนินทรีย์เป็นprotoอินทรีย์ในรูป Methylmercury (CH_3Hg^+) และ Dimethylmercury ($CH_3CH_2Hg^+$) ซึ่งสามารถสะสมในตัวมีชีวิต แต่protoอินทรีย์ในรูป Dimethylmercury เป็นรูปแบบที่มีความสามารถในการระเหยสูง ต่อน้ำใหญ่จะระเหยออกสู่บรรยากาศ ซึ่งเป็นกระบวนการที่ทำให้protoในแหล่งน้ำ กลับสู่ชั้นบรรยากาศ แล้วตกตะกอนลงสู่แหล่งน้ำอีกครั้ง หมุนเวียนเป็นวัฏจักร



ภาพที่ 1 การเปลี่ยนรูปแบบของprotoในธรรมชาติ (Wood, 1975)

ตารางที่ 1 รูปแบบทางเคมีและความเป็นพิษของสารปรอท (De Anil, 1994)

รูปแบบ	ความเป็นพิษ
Hg	โลหะปรอท ค่อนข้างเสื่อมและไม่เป็นพิษ แต่อาจเป็นพิษร้ายแรงเมื่อสูดเข้าไป
Hg_2^{2+}	ประจุเมอร์คิวรัส ไม่ละลายน้ำ ในรูปสารประกอบคลอไรด์ความเป็นพิษไม่มากเท่า แมอร์คิวรัสคลอไรด์ (Hg_2Cl_2)
Hg^{2+}	ประจุเมอร์คิวริก เป็นพิษแต่ไม่สามารถที่จะเคลื่อนย้ายข้ามเนื้อเยื่อ ซึ่งก็น่าหวัง กระแสโลหิตกับเนื้อเยื่อสมอง (ชั้นป้องกันไม่ให้สารพิษผ่านจากกระแสโลหิต เข้าสู่ เนื้อเยื่อประสาทส่วนกลาง) สามารถทดสอบและทำอันตรายต่อได้ เช่น แมอร์คิวริกคลอไรด์ (HgCl_2)
RHg^+	สารปรอทอินทรีย์เชิงเดียว มีความเป็นพิษสูง โดยเฉพาะ CH_3Hg^+ (Methylmercury) ทำลายระบบประสาท และสมองอย่างถาวร สามารถเคลื่อนย้ายเนื้อเยื่อที่ป้องกันได้ เช่น BBB (Blood Brain Barrier) และทดสอบได้ในเนื้อเยื่อไขมัน
R_2Hg	สารปรอทอินทรีย์เชิงซ้อน มีความเป็นพิษต่ำ สามารถเปลี่ยนรูปแบบเป็น RHg^+ ได้ใน ตัวกลางที่เป็นกรด เช่น $(\text{CH}_3)_2\text{Hg}$
HgS	สารประกอบชัลไฟด์ ไม่ละลายน้ำและไม่เป็นพิษ พบทามธรรมชาติในรูปของแร่ซินนาบาร์ (Cinnabar)

โลหะปรอท มีความสามารถในการเคลื่อนย้ายไปในสภาพต่างๆ ในสิ่งแวดล้อม ไม่ว่าจะ เป็น การสะสมตัวในน้ำ ดินตะกอน และพืช มีชีวิต โดยปรอทจะปรับเปลี่ยนรูปแบบทางเคมี (ตารางที่ 1) ให้เหมาะสมกับสภาพแวดล้อมที่ปรอท ได้แพร่กระจายออกไป ดังนั้นการตรวจสอบ การปนเปื้อนของปรอท ควรตรวจสอบให้ครอบคลุมในทุกสภาพ ในสิ่งแวดล้อม รวมถึงปัจจัยที่ ทำให้เกิดการสะสมตัวของปรอทในสภาพ เพื่อให้ได้แนวทางการศึกษาการแพร่กระจายของปรอท ให้ครอบคลุม และเด่นชัด

การปนเปื้อนและการเปลี่ยนแปลงรูปแบบของprotoที่ในแหล่งน้ำทะเล

การปนเปื้อนของprotoที่แหล่งน้ำทะเลเป็นสาเหตุหนึ่ง ที่ทำให้มีการปนเปื้อนของproto ในสิ่งแวดล้อม การปนเปื้อนของprotoที่ในน้ำทะเลส่วนใหญ่ มาจากการปล่อยน้ำทึบที่มีproto เลือบเป็นที่มาจากการก่ออุดสาหกรรม ของเสียจากบ้านเรือน รูปแบบของprotoที่ในน้ำทะเลส่วนใหญ่จะอยู่ในรูปของ protoอนินทรี (Inorganic Mercury) (กรมควบคุมมลพิษ, 2541) การพนprotoที่ในน้ำทะเลจะพบมากที่สุดบริเวณ ผิวน้ำ (Surface Layer) เมื่อระดับความลึกต่างๆ จะพบปริมาณprotoที่ใน อัตราที่ลดลง (Suzuki & Sugimura, 1985) ซึ่งทดลองถึงกับการศึกษาของ Williams (1974) ได้ศึกษาความเข้มข้นของprotoที่ในรูปของ protoอนินทรี (Inorganic Mercury) ที่ระดับความลึกที่แตกต่างกัน เพื่อหาความสัมพันธ์ระหว่างความเข้มข้นกับความลึกใน North Atlantic Ocean โดยพบว่าที่ระดับผิวน้ำน้ำทะเล จะมีความเข้มข้นของปริมาณprotoสูงกว่าระดับน้ำทะเลที่อยู่ในระดับความลึก 60 เมตร โดยปริมาณprotoที่ผิวน้ำน้ำ คือ 14 นาโนกรัมต่อลิตร ส่วนความลึกที่ 60 เมตร พนปริมาณprotoประมาณ 5 นาโนกรัมต่อลิตร

การติดตามการปนเปื้อนของprotoที่ในน้ำทะเลบริเวณอ่าวไทย ได้มีการตรวจสอบดัง แสดงข้อมูลในตารางที่ 2 โดยทำการปนเปื้อนของprotoที่ตรวจพบอยู่ในช่วงไม่ตรวจพบจนถึง 0.86 ไมโครกรัมต่อลิตร โดยบริเวณอ่าวไทยฟังตะวันออกพนprotoที่สูงที่สุด อยู่ในช่วง $< 0.001 - 0.096$ ไมโครกรัมต่อลิตร (Kan-atireklap, 1994 ข้างต้นใน กรมควบคุมมลพิษ, 2543)

ปัจจัยที่สำคัญในการติดตามการปนเปื้อนของprotoที่ในน้ำทะเล ได้แก่ ความสนใจ ในการติดตามการปนเปื้อนของprotoที่ในน้ำทะเล ดังแสดงข้อมูลในตารางที่ 3 ซึ่งแสดงการปนเปื้อนของprotoที่ในพื้นที่ต่างๆ ที่ทำศึกษา พนprotoที่ในน้ำทะเลที่ต่างๆ ตรวจพบจากแหล่งน้ำในต่างประเทศ มีค่าอยู่ในช่วง 0.5 – 610 นาโนกรัมต่อลิตร ซึ่งบริเวณที่ตรวจพบว่ามีการปนเปื้อนของprotoที่ในน้ำทะเลต่ำที่สุด คือบริเวณทะเล North Iceland มีค่าการ ปนเปื้อนเท่ากับ 2.2 นาโนกรัมต่อลิตร และบริเวณที่ตรวจพบว่ามีการปนเปื้อนของprotoที่สูงที่สุด คือบริเวณ ปากแม่น้ำ Ulhas ประเทศ อินเดีย มีค่าการปนเปื้อนอยู่ในช่วง 40 - 610 นาโนกรัมต่อลิตร

ตารางที่ 2 ปริมาณการปนเปื้อนของprotozin ในน้ำทะเลบริเวณอ่าวไทยและบริเวณใกล้เคียง

ปีที่ศึกษา	บริเวณที่ศึกษา	ปริมาณการปนเปื้อน(μg/L)	ผู้ทำการศึกษา
2533	อ่าวบ้านเพ จังหวัดระยอง	0.001 - 0.0024	Petpiroon and Abe (1991)
2535	ชายฝั่งทะเล จังหวัดตราด	0.001 - 0.045	Kan-atireklap (1994)
2536 - 2537	แม่น้ำบางปะกง	0.01 - 0.12	Chulalongkorn University, 1994 ช้างเผือกใน Thongra-ar, 2002
2537 - 2538	อ่าวไทยฝั่งตะวันออก	<0.001 - 0.096	Kan-atireklap (1994) ช้างเผือก ใน กรมควบคุมมลพิษ, 2543
2538 - 2541	นอกฝั่งกลางอ่าวไทย	<0.01 - 0.69	กรมควบคุมมลพิษ, 2543
2538 - 2541	นิคมอุตสาหกรรมนานาชาติพุด	0.002 - 0.48	กรมควบคุมมลพิษ, 2543
2538 - 2541	นิคมอุตสาหกรรมแหลมฉบัง	<0.0 - 0.16	กรมควบคุมมลพิษ, 2543
2540 - 2541	นิคมอุตสาหกรรมนานาชาติพุด ห่างชายฝั่ง 100 เมตร	<0.01 - 0.3	กรมควบคุมมลพิษ, 2543
	ห่างชายฝั่ง 500 เมตร	<0.01 - 1.11	
	ห่างชายฝั่ง 2,500 เมตร	<0.01 - 0.09	
2540 - 2541	อ่าวไทยฝั่งตะวันออก	ND - 0.026	EMDEC ช้างเผือกใน กรม ควบคุมมลพิษ, 2543
2540 - 2541	กลางอ่าวไทย	ND - 0.049	EMDEC ช้างเผือกใน กรม ควบคุมมลพิษ, 2543
2537 - 2542	อ่าวระยอง	<0.01 - 0.095	EMDEC ช้างเผือกใน กรม ควบคุมมลพิษ, 2543
2547	บริเวณแหลมฉบัง -ช่วงเดือน เมษายน	0.007 - 0.024	ศูภวัตร, 2547
	-ช่วงเดือน ตุลาคม	0.001 - 0.013	

ND = Non-detectable

EMDEC หมายถึง ศูนย์พัฒนาประมงทะเลอ่าวไทยฝั่งตะวันออก

ตารางที่ 3 ปริมาณการปนเปื้อนของprotoxinในแหล่งน้ำที่ทำการศึกษาในต่างประเทศ

บริเวณที่ศึกษา	Hg (ng/L)	ผู้ทำการศึกษา
North Iceland Sea	2.2	Olafsson (1983)
Mediterranean Sea	0.5-2.5	Aston (1985)
Jakata Bay	10 - 16	Hutagalung (1987)
Bay of Biscay (France)	0.5 - 5.5	Cossa (1988)
Gironde Estuary	2.3 - 7.6	Cossa (1987)
Baltic Sea	2.1 - 2.4	Brugman (1988)
Indian Ocean India	30 - 130	Sanzgiry et al.(1988)
St.Lawrence Estuary	24 - 121	Cossa (1988)
Amazonian, Brazil	2.24 - 6.99	Laurence (2000)
Southwestern, China	5.5 – 70.2	Guangle (2004)
Coastal, New Jersey	10 - 380	Julia (2004)
Ulhas estuary, India	40 – 61	Ram et al. (2004)

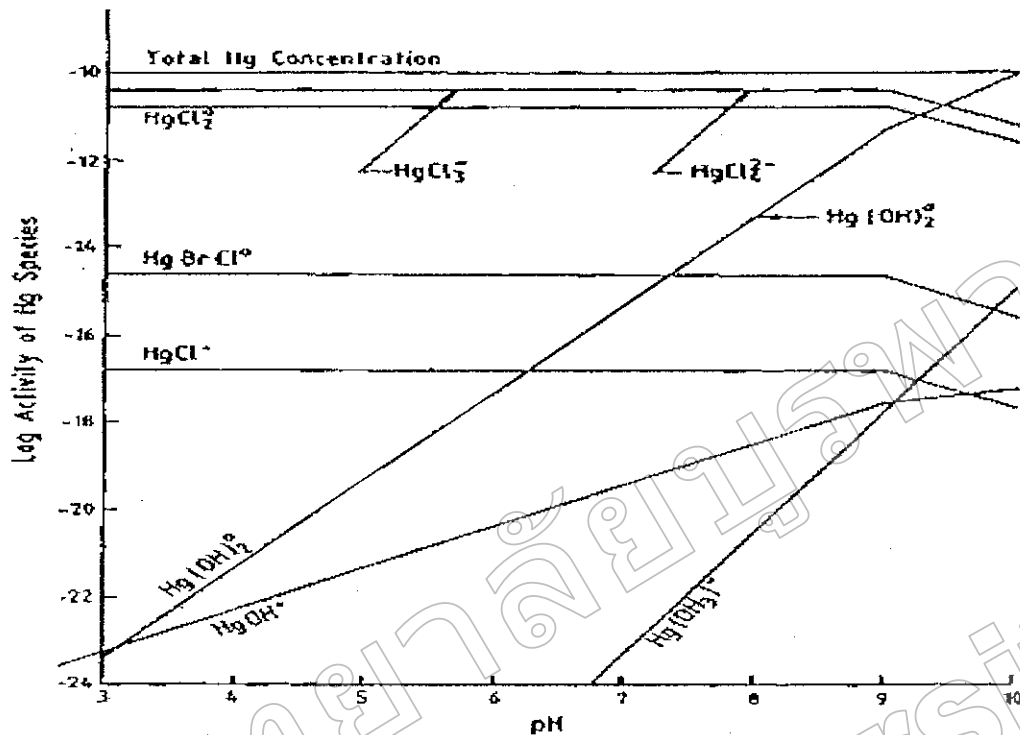
ปัจจัยที่ส่งผลต่อการเปลี่ยนแปลงโครงสร้างทางเคมีของprotoxinในน้ำทะเล

ความเป็นกรด – ด่าง (pH)

ค่าความเป็นกรด - ด่าง ในน้ำทะเล มีผลต่อการเปลี่ยนแปลงรูปแบบทางเคมี ของprotoxin ในน้ำทะเล (Species in Seawater) โดยเมื่อความเป็นกรด - ด่างต่ำในน้ำทะเลจะพบสารประกอบ เชิงซึ่งอนันต์protoxin ในรูปแบบ HgCl_2 , HgCl^+ , HgCl_3^- ซึ่งตรงกันข้าม เมื่อความเป็นกรด - ด่าง ในน้ำเพิ่มขึ้นจะเกิดสารประกอบเชิงซ้อนระหว่างprotoxinรูปแบบของ Hydroxylated Species เช่น HgOH^+ , Hg(OH)_2 , Hg(OH)_3^- ดังภาพที่ 2 (Florence, 1980)

ความเค็ม (Salinity)

ปริมาณของ HgCl_2 ในน้ำทะเลจะพนมากในน้ำทะเลที่มีความเค็มสูง โดยในน้ำทะเลที่มีความเค็มสูงจะมีปริมาณคลอร์ไรด์ไอออน ในน้ำทะเลที่สูงซึ่ง คลอร์ไรด์ไอออนจะมีความสามารถในการจับตัวกับ ประจุของprotoxin (Hg^{2+}) ได้ดี เกิดเป็นสารประกอบ HgCl_2 ในน้ำทะเล (Lion & Leckie, 1981)

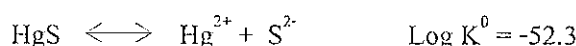


ภาพที่ 2 อิทธิพลของค่าความเป็นกรด – ด่าง ต่อรูปแบบทางเคมีของprototh ในน้ำทะเล (Florence, 1980)

กระบวนการรีดอกซ์

กระบวนการรีดอกซ์ ในน้ำทะเลจะอธิบายถึง การเกิดรูปแบบต่างๆ ในน้ำทะเล (Speciation) ในสภาวะที่ไม่มีออกซิเจน (Anoxic) และมีออกซิเจน (Oxic) (Skjellberg, 2000)

ในน้ำทะเลจะมีรูปแบบprototh ให้ลุ่งๆ อยู่สองรูปแบบคือ prototh ในรูป HgS (Cinnabar) มีความสามารถในการละลายน้ำตื้น ($\text{Log K}^0 = -52.3$) จะเกิดในสภาวะที่ไม่มีออกซิเจน (Anoxic) สมดุลของการรีดอกซ์ ในน้ำทะเลของ HgS เกิดได้ดังนี้



อีกรูปแบบหนึ่งคือ prototh ในรูป HgCl_2 มีความสามารถในการละลายน้ำได้ดี ($\text{Log K}^0 = -15.71$) กระบวนการรีดอกซ์ ในน้ำทะเลจะเกิดได้ดี จะเกิดในสภาวะที่มีออกซิเจน (Oxic) สมดุลของการรีดอกซ์ ในน้ำทะเลของ HgCl_2 เกิดได้ดังนี้



การปนเปื้อนและการเปลี่ยนแปลงรูปแบบของprotoในดินตะกอน

การปนเปื้อนของprotoในดินตะกอนจะมีปริมาณการสะสมตัวของprotoสูง โดยปริมาณการสะสมตัวในดินตะกอน จะมีปริมาณสูงกว่าการสะสมตัวในน้ำ ถึง 3 - 5 เท่า (Bryan & Langston, 1992 อ้างถึงใน กรมควบคุมมลพิษ, 2543) โดยดินตะกอนสามารถดูดซับprotoได้สูงถึง 82 เปอร์เซ็นต์ ซึ่งการสะสมตัวของprotoในดินตะกอนเป็นตัวบ่งชี้ถึงการบันปื้อนซึ่งมาจากการเคลื่อนที่ของน้ำมัน ที่มีความแตกต่างกัน (Guy, 1973 อ้างถึงใน กรมควบคุมมลพิษ, 2543) เพราะการสะสมตัวของprotoในดินตะกอน สามารถสะสมตัวได้ระยะนาน โลหะprotoมีระยะเวลาคงตัว (Residence Time) อยู่ภายในดินได้นานถึง 1,000 ปี (UNEP, 1984) ทำให้ทราบถึงการปนเปื้อนจากบริเวณที่ศึกษาได้อย่างชัดเจน

ปีบัตรดัน อุตสาห์พาณิช (2548) พบว่าดินตะกอนมีความสามารถดูดซับprotoมากกว่า 99 เปอร์เซ็นต์ ขึ้นอยู่กับลักษณะทางกายภาพของดินตะกอน และความเข้มข้นของprotoในตั้งแต่ดีด้อม

ค่ามาตรฐานการสะสมตัวของprotoในดินตะกอนของประเทศไทย ยังไม่มีค่ากำหนดไว้ แต่สามารถเทียบกับค่ามาตรฐาน ของประเทศอื่นๆ ได้โดยประมาณ ค่าที่ตั้งไว้คือ 0.15 ไมโครกรัมต่อกิโลกรัม น้ำหนักแห้ง (ค่าความเข้มข้นที่ไม่มีความเป็นพิษต่อสิ่งมีชีวิต) ถึง 1 ไมโครกรัมต่อกิโลกรัม น้ำหนักแห้ง (ค่าความเข้มข้นที่อาจเป็นพิษต่อสิ่งมีชีวิต) (กรมควบคุมมลพิษ, 2542)

การติดตามการปนเปื้อนของprotoที่ติดอยู่ในตะกอนบริเวณอ่าวไทย ได้มีการตรวจสอบดังแสดงข้อมูลใน ตารางที่ 4 โดยค่าการปนเปื้อนของprotoที่ตรวจพบ อยู่ในช่วง ไม่ต่ำกว่า 4.93 ไมโครกรัมต่อกิโลกรัม โดยบริเวณทะเลเดวากตะวันออก พนการปนเปื้อนของprotoในดินตะกอนสูงที่สุด อยู่ในช่วง 1.79 - 4.93 ไมโครกรัมต่อกิโลกรัม (Piyakarnchana, 1974 อ้างถึงใน กรมควบคุมมลพิษ, 2543)

ทั่วโลกได้ให้ความสนใจในการติดตามการปนเปื้อนของproto ได้มีผู้ศึกษาการปนเปื้อนของprotoในดินตะกอน ดังแสดงในข้อมูลใน ตารางที่ 5 พนการปนเปื้อนของprotoที่ติดอยู่ในดินตะกอนในต่างประเทศ มีค่าอยู่ในช่วง 0.02 - 6.43 ไมโครกรัมต่อกิโลกรัม โดยพื้นที่ที่มีการปนเปื้อนของprotoในดินตะกอนต่ำที่สุด ดินตะกอน บริเวณมหาสมุทรอินเดีย มีค่าการปนเปื้อนของprotoที่อยู่ในช่วง 0.04 - 0.08 ไมโครกรัมต่อกิโลกรัม และดินตะกอนบริเวณพื้นที่ที่มีการปนเปื้อนของprotoที่อยู่ในช่วง 1.13 - 3.46 ไมโครกรัมต่อกิโลกรัม อินเดีย มีค่าการปนเปื้อนของprotoอยู่ในช่วง 1.13 - 3.46 ไมโครกรัมต่อกิโลกรัม

ตารางที่ 4 ปริมาณการปนเปื้อนของprotothrinic acidในดินตะกอนบริเวณอ่าวไทย

ปีที่ศึกษา	บริเวณที่ศึกษา	ปริมาณการปนเปื้อน ($\mu\text{g/g dry wt.}$)	ผู้ทำการศึกษา
2521	อ่าวไทยตอนบน	1.79 - 4.93	Piyakarnchana, 1974 ช้างปึงใน กรม ควบคุมมลพิษ, 2543
	อ่าวไทยตอนล่าง	ND - 4.39	
2538 - 2541	นิคมอุตสาหกรรมมหาดูร	<0.005 - 0.13	กรมควบคุมมลพิษ, 2543
2536 - 2541	นิคมอุตสาหกรรมแหลมฉบัง	<0.005 - 0.03	กรมควบคุมมลพิษ, 2543
2539 - 2541	นอกฝั่งทะเลอ่าวไทย	0.01 - 0.12	กรมควบคุมมลพิษ, 2543
2542	อ่าวไทยตะวันออก	ND - 0.072	EMDEC ช้างปึงใน กรมควบคุมมล พิษ, 2543
	-ชายฝั่ง	ND - 0.06	
	-หัวงฝั่ง	ND - 0.072	
2542	อ่าวระยอง	ND - 0.048	EMDEC ช้างปึงในกรม ควบคุมมลพิษ, 2543
	-ชายฝั่ง	0.0178 - 0.0193	
	-หัวงฝั่ง	ND - 0.048	
2543	นิคมอุตสาหกรรมมหาดูร	0.006 - 0.13	แมวตา ทองระอุ, 2547
	-เดือนมีนาคม	<0.0023 - 0.224	
	-เดือนตุลาคม	0.019 - 0.149	ปี zarine อุตสาห์พาณิช, 2548

ND= Non-detectable

EMDEC หมายถึง ศูนย์พัฒนาประมงทะเลอ่าวไทยฝั่งตะวันออก

ตารางที่ 5 ปริมาณการปนเปื้อนของprotothdinตะกอนบริเวณที่ทำการศึกษาในต่างประเทศ

บริเวณที่ศึกษา	ไมโครกรัมต่อกิโลกรัม ($\mu\text{g/g}$ dry wt.)	ผู้ทำการศึกษา
Plym Estuary	0.02 - 2.61	Millward (1981)
Haifa Bay, Israel	0.06 - 0.99	Hornung (1984)
Argentina Sea	0.04 - 0.69	Marcovecchioet (1986)
Baltic Sea	0.08 - 0.80	Brugmann (1988)
Inndian Ocean, india	0.04 - 0.08	Sanziry (1988)
Para, Brazil	0.059 - 0.30	Lilka (1994)
Coast, Norway	0.2 - 19	Eva (1994)
Tapajos River, Brazil	0.09 - 0.21	Roulet (1998)
Mediterranean sea	0.053 - 0.176	Christine (1998)
Yatsushrio Sea, Japan	0.086 - 3.46	Takshi (2000)
Gold Mining, South America	0.04 - 0.33	Jan (2000)
North Mississippi Lakes	0.088 - 0.133	Huggett (2001)
Land fill, Southeast Brazil	0.12 - 0.89	Machado (2001)
Six Lake, UK	0.38 - 0.84	Handong (2003)
Gold Mining, Brazil	0.14 - 0.207	Pestana (2003)
Ulhas Estuary, india	1.13 - 6.43	Ram et al. (2004)

ปัจจัยในการดูดซับและเปลี่ยนแปลงรูปแบบทางโครงสร้างของprotothdinตะกอน

ความเค็ม (Salinity)

ค่าความเค็มในน้ำทะเลจะส่งผลต่อการดูดซับสารprototh มีผลให้ความสามารถในการขับน้ำออก (Affinity) ระหว่างprotothและдинตะกอนลดลง โดยที่ระดับความเค็มสูงการดูดซับสารprotothในдинตะกอน จะสัมพันธ์กับปริมาณออกไซด์ของเหล็กและแมงกานีส เพราะเมื่อความเค็มสูง คลอไรด์ออกอนจะขับตัวกับออกไซด์ของเหล็ก และแมงกานีสที่ผิวน้ำ dinตะกอน ซึ่งส่งผลให้สารprotothที่ถูกดูดซับ อยู่ผิวน้ำ dinตะกอนหลุดออกมากลางๆ (Wang, 1991)

ความเป็นกรด - ด่าง (pH)

ค่าความเป็นกรด - ด่าง มีความสัมพันธ์กับกระบวนการการดูดซับprotothnผิวหน้าดินตะกอน เมื่อค่าความเป็นกรด - ด่าง เท่ากับ 3 - 5 การดูดซับprotothnในดินตะกอนจะสามารถดูดซับได้มากที่สุด (ประมาณ 86 - 98 เปอร์เซ็นต์) แต่เมื่อค่าความเป็นกรด - ด่าง เพิ่มขึ้นอัตราการดูดซับจะลดลง เพราะเมื่อความเป็นกรดค่าสูงขึ้น Humic Substance ที่จับอยู่บริเวณผิวหน้าของดินตะกอนจะละลายนำออกมาน และเกิดสารเขียวขี้อนกับprotothn ทำให้การดูดซับprotothnในดินตะกอนลดลง (Yin et al, 1996 cited in Thonga-ar, 2001)

ขนาดอนุภาคของดินตะกอน (Grain Size)

ทางด้านปฐพีวิทยา เมื่อดินตะกอนถูกแบ่งเป็นหลายประเภท สิ่งที่กำหนดประเภทเนื้อดิน ผัดคล่านโดยมวลของอนุภาคของเนื้อดิน (Soil Separates) มีการแบ่งกลุ่มเป็น 3 ขนาดคือ

1. อนุภาคทราย (Sand) จัดเป็นกลุ่มโตที่สุดในดิน
2. อนุภาคทรายแม่ (Silt) จัดเป็นกลุ่มขนาดกลาง
3. อนุภาคดินเหนียว (Clay) จัดเป็นกลุ่มขนาดเล็กที่สุดในดิน

การที่เรียกว่า กลุ่มอนุภาค (Separate) เป็นเพราะแต่ละกลุ่มจะประกอบด้วยอนุภาคหลายขนาด จัดได้เป็นช่วงซึ่งกำหนดโดยพิกัดของขนาด พิกัดของขนาดนี้มีทั้งพิกัดบน (Upper Limit) และพิกัดล่าง (Lower Limit) ซึ่งอนุภาคทราย ทรายแม่ และดินเหนียว มีพิกัดของขนาดที่แตกต่างกัน

กลุ่มขนาดของอนุภาค (Sediment Separates) ของดินตะกอน มีระบบจำแนกที่นิยมใช้ 2 ระบบ คือระบบสหรัฐอเมริกา (United States Department of Agriculture, USDA) และระบบสามกด (International of Soil Science, ISSS) ดังแสดงในตารางที่ 6

ตารางที่ 6 การจำแนกกลุ่มขนาดของดินตะกอน ตามระบบของ สหรัฐอเมริกา (USDA)
เบรีบเทียนกับระบบสารกอต (มหาวิทยาลัยเกษตรศาสตร์, 2541)

กลุ่มขนาด	เส้นผ่าศูนย์กลาง (มิลลิเมตร)	
	USDA	ISSS
ทราย (Very Coarse Sand)	2.00 - 1.00	-
ทรายหยาบ (Coarse Sand)	1.00 - 0.50	2.00 - 0.20
ทรายขนาดปานกลาง (Medium Sand)	0.50 - 0.25	-
ทรายละเอียดมาก (Very Fine Sand)	0.01 - 0.05	-
ทรายเมือง (Silt)	0.05 - 0.002	0.02 - 0.002
ดินเหนียว (Clay)	< 0.002	< 0.002

ขนาดของอนุภาคในดินตะกอนมีผลต่อการสะสมปรอท ดินตะกอนประกอบด้วย โคลน ชิติกา สารอินทรีย์ ออกไซต์ของโลหะชัลไฟด์ และแร่ธาตุต่าง ๆ ดินตะกอนที่มีอนุภาคเด็กที่เป็นพวด ดินเหนียว (Clay) คุณสมบัติของพื้นที่พิภพมีประจุลบมาก มีความสามารถในการดูดซับอนุภาคของปรอทกับสารอินทรีย์สูง (Herbert, 1981) ซึ่งแสดงถึงการทึบกั้น Konard (1974) ได้ศึกษาหาความแตกต่างของการดูดซับปริมาณปรอทในดินโคลน และทราย พบรากะสะสมตัวของโลหะปรอทในดินทรายจะอยู่ในช่วง 0.01 - 0.05 ในโคลนรัมต์กรัม ส่วนในดินโคลนจะพบค่าปรอทที่สูงกว่าคือ อยู่ในช่วง 0.05 - 0.15 ในโคลนรัมต์กรัม

ปริมาณสารอินทรีย์ในดินตะกอน (Sediment Organic Matter)

สารอินทรีย์ในดินตะกอนประกอบด้วย

- สารประกอบพาร์คาร์บอนไฮเดรต ประมาณ 10 – 20 เปอร์เซ็นต์
- สารที่มีในโตรเจนเป็นองค์ประกอบ เช่น กรดอะมิโนและน้ำตาลอะมิโน (Amino Sugar) ประมาณ 20 เปอร์เซ็นต์
- สารประกอบ Aliphatic Fatty Acid, Alkane ประมาณ 10 – 20 เปอร์เซ็นต์
- ที่เหลือเป็นสารประกอบพวงก Aromatic Compound

ปริมาณสารอินทรีย์มีผลต่อการปริมาณดูดซับของปรอทในดินตะกอน เพราะสารอินทรีย์ เช่น พากกรดอะมิโน จะจับปรอทที่ไม่ละลายน้ำเกิดเป็นสารประกอบเชิงซ้อน (Hg(II) - Organic Complexation) โดยการดูดซับสารปรอทให้สูงสุดจะเป็นตัวส่วนกับปริมาณสารอินทรีย์ในดินตะกอน (Yin, 1996) ภายในดินตะกอนแหล่งต่างๆ โดยทั่วไปจะพบสารอินทรีย์

เป็นองค์ประกอบอนุย่อยในปริมาณที่แตกต่างกัน ปริมาณสารอินทรีที่ตรวจพบ อาจมีค่าต่ำกว่า 1 เปอร์เซ็นต์ ในบริเวณพื้นท้องน้ำที่เป็นทราย หรืออาจมีค่าสูงกว่า 10 เปอร์เซ็นต์ ในพื้นที่เป็นเลน บริเวณพื้นที่สภาพแวดล้อมที่แตกต่างกันจะมีผลต่อปริมาณสารอินทรีที่ในดินตะกอน โดยในดิน ตะกอนไกคลัฟอาจมีการดูดซึมมากกว่า 50 เปอร์เซ็นต์ ของสารอินทรีรวม แต่ในดินตะกอนทะลธิก อาจมีการดูดซึมมากไม่ถึง 5 เปอร์เซ็นต์ ของสารอินทรีรวม (จารุมาศ เมฆสัมพันธ์, 2548)

ดินตะกอนที่มีตัวบ่งชี้ของสารอินทรีที่เป็นของแข็ง (Solid Phase) โดยเฉพาะ S-Containing Groups เมื่อจับกับอนุภาคของprotothamnium ผิวน้ำดินตะกอน การปลดปล่อย protothamnium ที่ติดอยู่ด้วย S-Containing Groups จนเกิดสารประกอบเชิงซ้อน (Complexes) ที่มีคุณสมบัติเคมีทางภายนอกนิ่ง (Chemically Inert) การแห้งขันแห้งที่กับไอออนบวก (Cations) ชนิดอ่อนจะไม่เกิดขึ้น และสารprotothamnium ปล่อยออกจากสารประกอบเชิงซ้อนนี้ได้ช้า (Wallschlager et al., 1998)

ปริมาณสารอินทรีในดินตะกอนในเบตต่อว่าไทยพบว่า มีค่าต่ำกว่า 0.3 เปอร์เซ็นต์ ต่ำกว่าในแหล่งที่เป็นตะกอนทราย อาจพบปริมาณสารอินทรีต่ำน้อยกว่า 0.3 เปอร์เซ็นต์ (Pearson & Rosenberg, 1978)

การเกิดกระบวนการ Methylation ในดินตะกอน

กระบวนการการเกิด Methylation ในดินตะกอนคือกระบวนการสร้างสารเคมีทางชีวภาพ (Biological Synthesizing) การเปลี่ยนรูปแบบทางเคมีของprotothamnium ให้เป็นโครงสร้างแบบ protothamnium ซึ่งมีความสามารถในการเคลื่อนย้ายเข้าสู่เนื้อเยื่อ และสะสมในร่างกายของสิ่งมีชีวิต ได้ (กรมควบคุมมลพิษ, 2541) การเกิด Methylation จะต้องใช้กระบวนการการทำงานเคมี และชีววิทยา นาเกี่ยวช่อง เพื่อใช้ในการทำให้เกิดพันธะระหว่าง protothamnium กับ หมู่ Methyl (CH_3) กระบวนการการดังกล่าว จะเกิดการเปลี่ยนแปลงในดินตะกอน (Andren & Harris, 1973) โดยเมื่อ protothamnium ที่เป็น Hg^0 ตกตะกอนลงสู่แหล่งน้ำเกิดการเปลี่ยนรูปแบบ จาก Hg^0 เป็น Hg^{2+} จากนั้น protothamnium ใหญ่จะถูกดูดซับโดยอนุภาคตะกอนที่แขวนลอย แล้วตกตะกอนลงไปสะสมอยู่ในชั้นดินตะกอนที่มีสารอินทรี (Organogenic Sediment) ซึ่งตะกอนส่วนใหญ่จะอยู่ในรูปของprotothamnium (D' Itri, 1977 อ้างถึงใน ปี zarattini อุตสาหพานิช, 2548) แบคทีเรียในรูปแบบ Methanogenic Bacteria ซึ่งเป็นแบคทีเรียชนิดไม่ใช้อكسิเจน (Anaerobic Bacteria) จะมีความสามารถเปลี่ยนรูปแบบของprotothamnium Hg^{2+} ให้เป็นprotothamnium CH_3Hg (Methylmercury) และ $(\text{CH}_3)_2\text{Hg}$ (Dimethylmercury) (Windom et al., 1976)

การปนเปื้อนของprotoและป้อจัยการปนเปื้อนสู่สิ่งมีชีวิต

การปนเปื้อนของprotoสู่สิ่งมีชีวิตเมื่อ protoปนเปื้อนลงตู้น้ำ และคินตะกอนจนมีการเปลี่ยนรูปแบบทางโครงสร้างให้อยู่ในรูปของ Methylmercury ซึ่งเป็นรูปแบบที่สามารถเกิดขึ้นบ่อย และจะพบในสิ่งมีชีวิตได้ (Marcovecchio, 1986)

ร่างกายสิ่งมีชีวิต สามารถดูดซึม Methylmercury ในทางเดินอาหาร ได้สูงถึง 95 – 98 เปอร์เซ็นต์ แต่ขับออกไม่ในรูปของเสบียง ได้น้อยมาก เมื่อจากเป็นสารที่เสียหาย ไม่แตกตัวเป็นสารอนินทรีย์ Methylmercury สามารถเข้าติดกับเม็ดเลือดแดง และแพร่กระจายไปยังทุกส่วนของร่างกาย และประมาณ 15 เปอร์เซ็นต์ จะสะสมอยู่ในสมอง ส่วนสารประกอบอนินทรีย์ของproto มีความเป็นพิษน้อยที่สุด เพราะถูกดูดซึมเข้าสู่ร่างกายโดยทางเดินอาหาร ได้น้อย (ไม่เกิน 2 เปอร์เซ็นต์) และยังถูกขับออกจากร่างกายได้ยาก (กรมควบคุมมลพิษ, 2548)

การสะสมของprotoในสิ่งมีชีวิตนั้นจะเป็นการแพร่กระจายในรูปห่วงโซ่ออาหาร (Food Chain) สำหรับปริมาณการสะสมของสารprotoในสัตว์น้ำ จะขึ้นกับชนิดของสัตว์น้ำ อาหารการกิน อัตราการเจริญเติบโต และอุณหภูมิ แหล่งใหญ่ของการสะสมของproto จะเกิดจากอาหารกินอาหาร การสะสมของprotoห่วงโซ่ออาหารจะมีการเพิ่มขึ้นตามลำดับของผู้บริโภคในห่วงโซ่ออาหาร จากการศึกษาปริมาณการสะสมตัวกันของprotoอินทรีย์ ในห่วงโซ่ออาหาร สาหร่ายซึ่งอยู่ในห่วงโซ่ออาหารที่ต่ำที่สุด และปลาซึ่งอยู่ในห่วงโซ่ออาหารที่สูงที่สุด จะมีปริมาณการสะสมเป็นไปตามลำดับขึ้น (Hansen & Riisgard, 1990) ดังภาพที่ 2 ที่แสดงการสะสมของprotoในสายใยอาหาร (Marine Food Web) ระดับการสะสมใน Plankton ซึ่งอยู่ในลำดับห่วงโซ่ออาหารที่ต่ำที่สุด จะมีปริมาณการสะสมน้อยที่สุด เมื่อเทียบกับพวก Carnivore ซึ่งอยู่ในลำดับห่วงโซ่ออาหารที่ต่ำที่สุด จะมีการสะสมของprotoที่สูงกว่า

การติดตามการปนเปื้อนของprotoในสิ่งมีชีวิตบริเวณอ่าวไทย ได้มีการตรวจสอบดังแสดงข้อมูลในตารางที่ 7 โดยค่าการปนเปื้อนของprotoที่ตรวจพบ อยู่ในช่วง 0.001 - 0.434 ในโครงการนต่อกรัม โดยบริเวณนิคมอุตสาหกรรมมาตาพุฒ พนการปนเปื้อนของprotoสูงที่สุด ในตัวอย่างปลาหารรายเด้ง อยู่ในช่วง 0.07 - 0.43 ในโครงการนต่อกรัม (กรมควบคุมมลพิษ, 2547)

ตารางที่ 7 ปริมาณการปนเปื้อนของprotoxinในเนื้อเยื่อสัตว์ทะเล บริเวณอ่าวไทย
(กรมควบคุมมลพิษ, 2547)

ปีที่ศึกษา	บริเวณที่ศึกษา	ชนิดสิ่งมีชีวิต	ปริมาณprotoxin ($\mu\text{g/g}$ wet wt.)	ผู้ทำการศึกษา
1983	ชายฝั่งทะเลอ่าวไทย	หอยนางรม	0.001 - 0.153	กรมควบคุมมลพิษ, 2547
1987	อ่างศิตา ชลบุรี	หอยแมลงภู่	0.017	
1996	ชายฝั่งตะวันออกอ่าวไทย	ปลากระดัก ปลากระรัง ปลาไข่แข็ง ปลาไข่ได้ ปลาขาวด ปลาช้าบลา ปลาตาหวาน ปลาสาภก ปลาปากคอม ปลาเบี้น ปลาหลังเขียว	0.027 0.016 0.019 0.020 0.019 0.032 0.019 0.023 0.025 0.019 0.013 0.19	
2002	ชายฝั่งทะเลสมุทรปราการ ชายฝั่งทะเลนิคมอุตสาหกรรม ��นาบตาพุด ชายฝั่งทะเลจังหวัด สมุทรปราการ	ปลาญู ปลาญูรา ปลาญู ปลาอินทรีบึง ปลาทรายแดง หอยแมลงภู่ หอยแมลงภู่	0.010 - 0.016 0.065 - 0.195 0.005 - 0.006 0.145 0.070 - 0.434 0.007 - 0.009 0.005 - 0.008	

รวิทย์ ชิ瓦พร (2543) ได้ทำการศึกษาปริมาณสารprotoxinในสิ่งมีชีวิตที่ทำการเก็บตัวอย่าง
จากจังหวัดชลบุรีคือ แพลงก์ตอนพืช แพลงก์ตอนสัตว์ ปลา คุ้ง และหมึก โดยแบ่งเป็นระดับห่วงโซ่
อาหารได้ 4 ระดับคือ

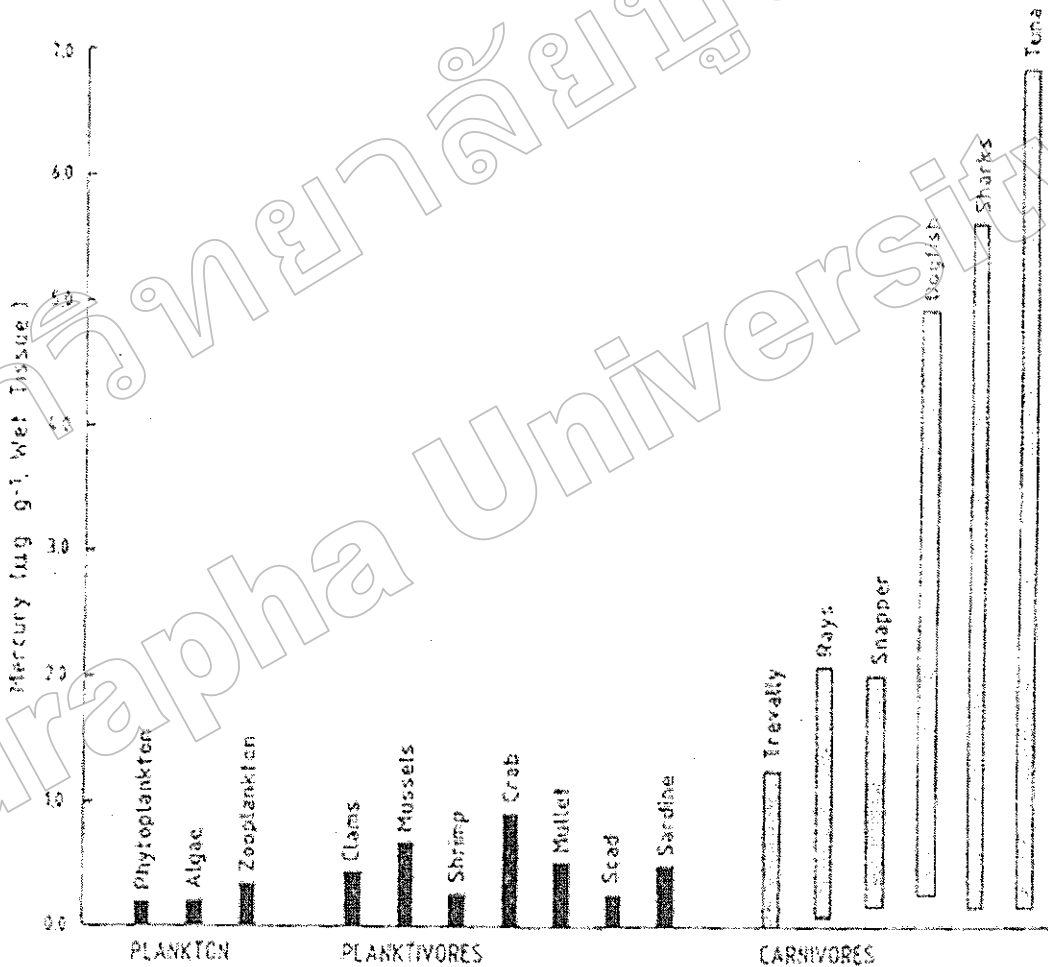
ระดับที่ 1 คือ พากผู้ผลิต (Producer)

ระดับที่ 2 คือ พากกินพืช (Primary Consumer Level)

ระดับที่ 3 กือ พากกินสัตว์กินพืชเป็นอาหาร (Secondary Consumer Level)

ระดับที่ 4 กือ พากกินสัตว์ที่กินสัตว์กินพืชเป็นอาหาร (Tertiary Consumer Level)

จากการศึกษาพบว่าระดับที่ 1 และ 2 จะมีปริมาณprotothoxyz ในช่วง 1.8 - 4.6 นาโนกรัม ต่อกรัม ในระดับที่ 3 จะมีปริมาณprotothoxyz ในช่วง 5.1 - 6.1 นาโนกรัมต่อกรัม และในสั่งมีชีวิตที่อยู่ในระดับ 4 จะมีปริมาณprotothoxyz ในช่วง 23.4 - 90.4 นาโนกรัมต่อกรัม แสดงให้เห็นว่าในระดับของสั่งมีชีวิตในชีวภาพ พากที่อยู่ในห่วงโซ่ออาหารที่สูงกว่า จะมีอัตราการสะสมตัวของprotothoxyz มากกว่าในระดับสั่งมีชีวิตที่ต่ำกว่า



ภาพที่ 3 การสะสมของprotothoxyz ในสายใยอาหาร (Marcovecchio, 1986)

ปัจจัยและภาพรวมของการเกิด Biomagnification ในสิ่งมีชีวิต

1. ลำดับขั้นของสิ่งมีชีวิต ที่อยู่ในลำดับขั้นของห่วงโซ่ออาหาร (Marine Food Web) การสะสมของprotoที่สิ่งมีชีวิตจะพบปริมาณของprotoมากที่สุดในพวกสัตว์เลี้ยงลูกด้วยนมในทะเล เช่นแมวน้ำ พะยูน และวาฬ (WHO, 1986)

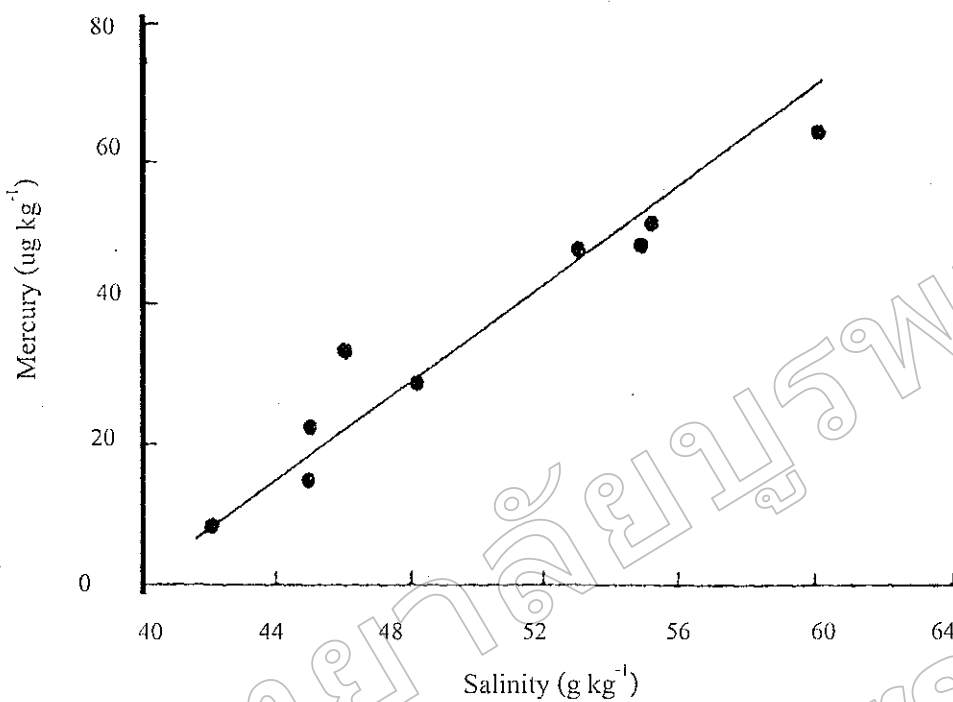
2. ปัจจัยที่มีผลต่อการสะสมตัวของprotoที่เกี่ยวข้องคือ อายุ เพศ และน้ำหนัก (Cutshaw, 1987) รวมทั้งถินที่อยู่อาศัยซึ่งมีผลต่อการสะสมของปริมาณprotoที่แตกต่างกัน (Hakanson, 1988) ผลคัดลอกกับศึกษาของ Langston (1986) ได้ทำการศึกษาความสัมพันธ์การสะสมของproto กับอายุของปลา Trout จากการศึกษาพบว่า ปริมาณการสะสมตัวของproto จะสูงขึ้นตามอายุที่เพิ่มขึ้นของปลา Trout

3. ระดับการสะสมตัว ของproto ในสิ่งมีชีวิตนี้ความสัมพันธ์กับปริมาณความเค็มในน้ำทะเล (Pentreath, 1976) ดังแสดงในภาพที่ 4

4. การเกิด Methylation อาจเกิดในร่างกายของสิ่งมีชีวิต โดยพมเมื่อ proto ในรูป Hg^{2+} ทำปฏิกิริยากับ Methyl Radical จะเกิดปฏิกิริยา Methylation ขึ้นในร่างกายของตัวปลา หรือตัวริในระดับที่ต่ำกว่าใน Trophic Level ตัวการเกิดปฏิกิริยา Demethylation ในสิ่งมีชีวิตจะพมในสัตว์ทะเล เช่น ติงโตกะเล

กรมควบคุมมลพิษ (2548) ได้ทำการประเมินความเสี่ยงการปนเปื้อนของproto ในปลา แต่ละชนิด (Ecological Risk Due to Hg Contamination) โดยใช้ข้อมูลการปนเปื้อนของproto ในสัตว์น้ำบริเวณอ่าวไทย ปี 2538 จำนวน 9 ชนิด 135 ตัวอย่าง มีการปนเปื้อนของproto ในช่วง 0.39 - 4.70 ไมโครกรัมต่อกิโลกรัม เป็นฐานในการคำนวณความเสี่ยงทางระบบนิเวศวิทยาพบว่าร้อยละ 67 ของปลา มีความเสี่ยงต่อผู้บริโภคที่จะได้รับสารprotoเกินค่า Reference Dose (ค่าความเข้มข้นของprotoสูงสุด ที่อนุญาตให้มีในสัตว์น้ำ เพื่อการบริโภคเท่ากับ 0.0001 mg/kg/day ของ US.EPA) ดังแสดงในตารางที่ 8

ข้อมูลที่แสดงในตารางที่ 8 ค่าร้อยละของความเสี่ยงต่อการปนเปื้อนproto ในปลาแต่ละชนิดจะมีค่าที่แตกต่างกัน ส่วนเนื้องจาก พฤติกรรมการกิน ถ้าที่อยู่อาศัย จึงทำให้โอกาสที่จะได้รับสารprotoที่มีความแตกต่างกัน



ภาพที่ 4 ปัจจัยของความเค็มต่อการสะสมตัวของprotoxinในหอยกาก (Pentreath, 1976)

ตารางที่ 8 ร้อยละความเสี่ยง (Risk Percentage) ต่อการปนเปื้อนของสารprotoxinในปลาแต่ละชนิด
(กรมควบคุมสิ่งพิษ, 2548)

ชนิดปลา	ร้อยละ
ปลาทู	0
ปลาทรายแดง	100
ปลาอินทรี	67
ปลาจะกระเม็ดดำเน	0
ปลาเก้า	100
ปลา kazumura	33
ปลาทรายขาว	100
ปลาดานบเงิน	100
ปลาดาบ牙	100

ความเป็นพิษของปอร์ท

ปอร์ทในรูปปัจจุบันมีมากนัก แต่ปัจจุบันปอร์ทเป็นพิษอย่างร้ายแรง สารประกอบอนินทรีย์ของปอร์ท ที่จะหายไปได้ จะมีโอกาสเข้าสู่ร่างกายได้ง่าย โดยปะปนเข้ากับอาหาร และน้ำดื่มน้ำ HgCl₂ เมื่อเข้าสู่ร่างกายจะไปสะสมในทางเดินอาหารและไต ได้อายุรักษ์ตามสารประกอบอนินทรีย์ของปอร์ทเป็นพิษไม่ร้ายแรงนัก เมื่อเทียบกับสารประกอบอนินทรีย์ของปอร์ท พิษอันเนื่องมาจากการปอร์ทที่เร้นเดียวกับพิษที่เกิดจากโลหะหนักอื่น ๆ เช่นตะกั่ว แคลแคนดี้เมียน เป็นพิษจากการสะสมซึ่งหมายความว่า เมื่อสารเข้าสู่ร่างกายสามารถคงอยู่ในร่างกายได้นาน ระยะเวลาที่สารพิษคงอยู่ในร่างกาย ได้ข่าวหรือต้นน้ำเพียงใดขึ้นอยู่กับชนิดของสารพิษ ในกรณีของสารอนินทรีย์ของปอร์ทมีค่าครึ่งชีวิตทางชีววิทยา (Biological Half Life) ประมาณ 75 วัน หมายความว่าถ้าสารที่เข้าสู่ร่างกายจำนวนหนึ่ง เท่า 1 กรัม ครึ่งหนึ่ง หรือ $\frac{1}{2}$ กรัม จะสามารถขับออกไปจากร่างกายได้ภายใน 75 วัน เหลือ $\frac{1}{2}$ กรัม และเมื่อเวลาผ่านพ้นไปอีก 75 วันร่างกายก็จะขับสารนี้ออกไปอีกครึ่งหนึ่งของจำนวนที่เหลือ ($\frac{1}{2}$) ตั้งน้ำหนักเวลา 150 วัน สารนี้จะเหลือในร่างกายเพียง $\frac{1}{4}$ กรัม ($\frac{1}{2} \times \frac{1}{2}$ กรัม) ของจำนวนที่ร่างกายไปนับตั้งแต่ (1 กรัม) การลดลงในสัดส่วนนี้จะดำเนินไปเรื่อยๆ จนกระทั่งสารพิษนี้จะถูกขับออกจากร่างกายหมด (นิธยา รัตนนาปนนท์, 2543)

สารประกอบอนินทรีย์ของปอร์ท เร้น แอสติกเลมอร์คิวร์ มีความเป็นพิษมากกว่าเอริสมอร์คิวร์ ตัวอย่างเช่น เมทิลเมอร์คิวร์ ถูกคุณชุมได้ศึกษาในระบบทางเดินอาหารเมื่อเข้าสู่ร่างกายแล้วจะเปลี่ยนเป็นเกลืออนินทรีย์ ซึ่งร่างกายสามารถขับถ่ายได้ประมาณ 40 เมตรเซ็นต์ ของที่ได้รับเข้าไปโดยประมาณว่า 50 เมตรเซ็นต์จะถูกขับออกทางอุจจาระ และอีก 5 - 20 เมตรเซ็นต์ จะถูกขับออกทางปัสสาวะ และมีการเปลี่ยนรูปปัจจุบันสารอนินทรีย์เป็นสารอนินทรีย์ ในอุจจาระ โดยแบคทีเรียในระบบทางเดินอาหาร ตัวอย่างเช่น หนูที่ได้รับเมทิลเมอร์คิวริกคลอไรด์ (10 เมตรเซ็นต์) จะขับออกทางน้ำดีภายใน 24 ชั่วโมง โดยรวมอยู่กับน้ำในชีสต์เตอฟิน หรือคุต้าไทยตอน และปริมาณจะลดลงเหลือ 5 เมตรเซ็นต์ ภายในหลังจาก 10 วัน เมื่อจากการดูดซับกลับได้ที่ล้ำไส้ (นิธยา รัตนนาปนนท์, 2543)

การเกิดพิษปอร์ทในมนุษย์

พิษปอร์ทอย่างเฉียบพลัน (Acute Mercury Poisioning) ปอร์ทเมื่อเข้าสู่ร่างกายของมนุษย์ แล้วก่อให้เกิดอันตรายโดยการแตกตัวเป็นไอออนซึ่งมีประจุไฟฟ้า ไอออนดังกล่าวจะไปขัดขวางกระบวนการทางชีวเคมีของร่างกายที่ทำให้เกิดพลังงาน ร่างกายจึงจำเป็นต้องหาวิธีอื่นเพื่อให้ได้พลังงาน โดยใช้วิธีทำให้เกิดกรดแลกติกเป็นผลพลอยได้ และกรดชนิดนี้เป็นผลร้ายต่อร่างกาย โดยเซลล์ต่างๆ ที่เกิดจะแสดงอาการผิดปกติในรูปต่างๆ กรณีนี้มักจะเกิดกับผู้ได้รับสารประกอบของปอร์ทที่เป็นพันเข้าไปโดยอุบัติเหตุ หรืออัตโนมัติกรรมโดยรับประทานเกลือของ

protothellecyanescens เนื้อ Mercuric Chloride อาการ โรคที่เกิดคือ มีอาการอักเสบอย่างรุนแรงตามทางเดินอาหาร มีอาการเกร็งของผนังหน้าท้อง ถ่ายเป็นเลือด protothellecyanescens เข้าไปสะสมอยู่ในไส้ และทำอันตรายต่อไต เป็นเหตุให้ถ่ายปัสสาวะน้อยลง จนถึงที่สุดหยุดถ่ายทำให้ของเสียต่างๆ ในร่างกายมากขึ้นที่สุดจะเสียชีวิตในเวลาอันรวดเร็ว เกิดผลกระแทกต่อระบบประสาทส่วนกลางโดยทำให้ระบบประสาทเกี่ยวกับการได้ยิน สูญเสียการมองเห็นไป นอกจากนี้ยังทำให้เกิดการเปลี่ยนแปลงทางจิตใจ ความจำเสื่อม ในบางรายจะเกิดการเปลี่ยนแปลงทางด้านพฤติกรรม และบุคลิกรวมทั้งมีอาการตกใจง่าย มีความรู้สึกเครียดสลด และชอบทะเลาะวิวาท (กรมควบคุมมลพิษ, 2541)

อาการเริ่มต้นของพิษจากprotothellecyanescens ในรูปการอนินทรีย์คือ ไตพับปัสสาวะไม่ได้ (Anuria) ซึ่งอาจเป็นผลมาจากการส่วนของทิบูล (Tubules) ของไตอุดตัน หรือเกิดการแพร่ของสารในทิสทางตรงกันข้ามจากเดิม (Back Diffuse) อาการต่อมาก็คือปัสสาวะผิดปกติ (Polyuria) ซึ่งคาดว่าเกิดจากกระบวนการดูดกลับ (Reabsorp) ของโซเดียมในบริเวณทิบูลถูกขัดขวาง สำหรับคนที่ได้รับสารprotothellecyanescens เป็นเวลานานจะมีการสูญเสียโปรตีนในพลาสม่าสูงจนเกิดอาการบวมที่ข้อเท้า (มูลวรรณ บุญเต坳, 2544) ส่วนปริมาณของprotothellecyanescens ที่ทำให้คนตายโดยเฉลี่ยประมาณ 0.02 กรัม ส่วนผู้ที่ทนทานอาจต้องมีปริมาณถึง 0.2 - 0.1 กรัม

พิษprotothellecyanescens (Chronic Mercury Poisoning) กรณีนี้เกิดกับผู้ที่ต้องสัมผัสกับ protothellecyanescens เป็นประจำ โดยหมายใจที่มีprotothellecyanescens ที่สารประกอบของprotothellecyanescens อาการของprotothellecyanescens ได้คือ มีน้ำลายมากกว่าปกติ เกิดอาการอักเสบที่เยื่อบุช่องปาก พื้นปากคลอน น้ำหนักตัวลด

ความเป็นพิษของprotothellecyanescens มีชีวิตในน้ำ

กรมควบคุมมลพิษ (2542) ได้ทำการศึกษาความเป็นพิษของprotothellecyanescens ต่างๆ กับสิ่งมีชีวิตในน้ำดังนี้

การศึกษาความเป็นพิษเฉียบพลัน (Acute Toxicity) จากการศึกษาค่าความเป็นพิษเฉียบพลันกับปลา 5 ชนิด ซึ่งมีค่าเฉลี่ยในประเทศไทยและในเขตตอนอุ่น พบว่าความเข้มข้นของprotothellecyanescens ที่ทำให้ปลาตาย 50 เปอร์เซ็นต์ ในเวลา 96 ชั่วโมง ($96 - h LC_{50}$) มีค่าอยู่ในช่วง 67 - 650 ไมโครกรัมต่อลิตร โดยปลาที่มีค่า $96 - h LC_{50}$ ต่ำที่สุด คือ ระยะ Embryo ของ Killifish

ส่วนการศึกษากับสัตว์ไม่มีกระดูกสันหลัง 28 ชนิด ซึ่งมีอยู่ 9 ชนิดที่มีค่าเฉลี่ยในประเทศไทย พบว่าค่าความเป็นพิษเฉียบพลันอยู่ระหว่าง 4.2 ไมโครกรัมต่อลิตร (ค่าความเข้มข้นที่ทำให้ Pacific Oyster ในระยะ Embryo ตาย 50 เปอร์เซ็นต์ ในเวลา 48 ชั่วโมง) ถึง 32,000 ไมโครกรัมต่อลิตร (ค่าความเข้มข้นที่ทำให้ระยะตัวเต็มวัยของ mudsnails ตาย 50 เปอร์เซ็นต์ ใน

เวลา 24 ชั่วโมง) โดยสัตว์ไม่มีกระดูกสันหลังที่ทำการศึกษาทั้งหมดจะแสดงความเป็นพิษเฉียบพลันที่ความเข้มข้นของprotoxin อย่างกว่า 500 ไมโครกรัมต่อลิตร

การศึกษาความเป็นพิษเรื้อรัง (Chronic Toxicity) ใน การศึกษาความเป็นพิษเรื้อรังกับปลา Killifish ในเวลา 32 วัน พบว่าค่าความเข้มข้นของprotoxin ที่มีผลต่อกำลังสำเร็จของการฟัก (Hatching Success) และความสามารถของการรอดชีวิต (Viability) ของตัวอ่อน 50 เปอร์เซ็นต์ มีค่าประมาณ 37 ไมโครกรัมต่อลิตร และ 32 ไมโครกรัมต่อลิตร ตามลำดับ ทั้งนี้ค่าความเข้มข้นสูงสุดที่ไม่มีผลต่อกำลังสำเร็จของการฟัก และความสามารถของการรอดชีวิตต่อตัวอ่อนของปลา (NOEC:No-Observed-Effect-Concentration) มีค่าเท่ากับ 10 และ 30 ไมโครกรัมต่อลิตร ตามลำดับ

ส่วนค่าความเข้มข้นของprotoxin ที่มีความเป็นพิษเรื้อรังต่อสัตว์ไม่มีกระดูกสันหลัง มีค่าอยู่ในช่วง 0.8 ไมโครกรัมต่อลิตร (ค่าความเข้มข้นสูงสุดที่ไม่มีผลต่อการสืบพันธุ์ของ Mysid Shrimp ในระยะเวลา 35 วัน) ถึง 90 ไมโครกรัมต่อลิตร (ค่าความเข้มข้นที่มีผลต่ออัตราการตาย 50 เปอร์เซ็นต์ ในระยะเวลา 28 วัน ($28 - h \text{ LC}_{50}$) ของ Polychaetes ระยะ Juvenile)

สำหรับการศึกษาความเป็นพิษเรื้อรังกับพืชและสาหร่ายทะเล 5 ชนิด ซึ่งบางชนิดเป็นพืชที่มีคุณค่าทางเศรษฐกิจ เช่น พนัค์ ความเข้มข้นของprotoxin ที่มีผลต่อการเจริญเติบโตของพืช และสาหร่ายในระยะเวลา 48 ชั่วโมง มีค่าระหว่าง 15 - 280 ไมโครกรัมต่อลิตร

อันตรายของprotoxinที่เกิดต่อมนุษย์

อันตรายของprotoxinที่เกิดก่อให้เกิดผลกระทบต่อร่างกายของมนุษย์นั้น เกิดในปี ค.ศ. 1956 ในประเทศญี่ปุ่นมีการเกิดโรคที่เรียกว่า มินามาตะ (Minamata Disease) โดยเรียกชื่อตามอ่าวมินามาตะ ซึ่งเป็นแหล่งที่เกิดโรคนี้ สาเหตุของโรคตั้งแต่ก่อตัวมาจากคนในบริเวณนี้รับประทานอาหารจำพวกปลา และหอยในบริเวณอ่าวมินามาตะซึ่งมีสารประกอบprotoxin เช่น methylmercury ลงสู่อ่าวเป็นเวลานานทำให้ผู้ได้รับสารprotoxinเป็นจำนวนตั้ง 1,000 - 3,500 คน อาการของผู้ป่วยโรคมินามาตะคือมีอาการชา มือและเท้าคลื่น宙 แขนขา และริมฝีปาก ต่อจากนั้นจะมีอาการอื่นๆ ตามมา คือม่านตาหรือเล็ก อารมณ์หงุดหงิด กระวนกระวาย พูดช้าไม่เป็นภาษา กล้ามเนื้อแข็งชาไม่สามารถควบคุมตัวเองได้ (สมออา วงศ์ขมทอง, 2538)

บังเมืองมีเหตุการณ์เนื่องจากพิษของprotoxinในอิรักอีกเมื่อปี ค.ศ. 1971 - 1972 โดยมีผู้รับประทานบนมีปั่งที่ทำการเม็ดข้าวสาลี ซึ่งมีสารกำจัดเชื้อรากที่มี Alklymercury เป็นองค์ประกอบตกลงอยู่ทำให้ผู้เสียเสียชีวิตกว่า 500 คน